



บทวิชาการ  
Original Article

# พื้นผุแอบแฝงบนด้านบดเคี้ยวของฟันกรรมแท้: รายงานผู้ป่วย

นิรมล ใจชื่อ ท.บ. (เกียรตินิยม), ป. บัณฑิตสาขาทันตกรรมสำหรับเด็ก

อนุมติบัตร (ทันตกรรมสำหรับเด็ก)

โรงพยาบาลคณฑ์ทันตแพทยศาสตร์ คณฑ์ทันตแพทยศาสตร์ จุฬาลงกรณ์มหาวิทยาลัย

## บทคัดย่อ

พื้นผุแอบแฝงบนด้านบดเคี้ยวของฟันกรรมแท้ ใช้อธิบายถึงพื้นผุที่พบในขันเนื้อฟันซึ่งด้านบดเคี้ยวถูกวินิจฉัยทางคลินิกว่าไม่เป็นพื้นผุหรือมีรอยผุบริมาณ้อย ๆ เนื่องจากด้านบดเคี้ยวของฟันมีลักษณะผุเพียงเล็กน้อยไม่เป็นโพรงฟัน หรือมีเพียงการสูญเสียแร่ธาตุเพียงเล็กน้อยบนผิวนิวเคลียบฟัน แต่สามารถตรวจพบเบาคำภายในขันเนื้อฟันจากภาพรังสีใบพิวติ รายงานฉบับนี้ได้ตรวจพบพื้นผุแอบแฝงในผู้ป่วย 2 ราย ที่การตรวจซ่องปากทางคลินิกพบรอยผุบนด้านบดเคี้ยวของฟันเพียงเล็กน้อย แม้มีรอยผุขนาดใหญ่ซึ่งตรวจพบได้จากการรังสีใบพิวติ และการรักษาอย่างโรคเหล่านั้นอย่างเหมาะสม โดยรอยโรคไม่ลุกลามจนเป็นอันตรายต่อโครงสร้างในฟัน ซึ่งทำให้สามารถป้องกันการสูญเสียฟันและไม่ต้องมีการรักษาที่มีค่าใช้จ่ายสูงขึ้น

(ว.ทันตฯ 2550;30:61-72)

คำสำคัญ: พื้นผุแอบแฝงบนด้านบดเคี้ยว; พื้นผุในเนื้อฟัน; ภาพรังสีใบพิวติ

## บทนำ

ปัจจุบันโรคฟันผุยังคงเป็นปัญหาทางสาธารณสุขที่สำคัญของประเทศไทย ข้อมูลจากการสำรวจสภาวะทันตสุขภาพระดับประเทศครั้งที่ 5 พ.ศ. 2543–2544 พบว่าอัตราการเกิดฟันผุของเยาวชนไทยอายุ 3 ปี มีฟันผุร้อยละ 65.7 อายุ 5–6 ปี มีฟันผุร้อยละ 87.4 อายุ 12 ปี มีฟันผุร้อยละ 57.3 และอายุ 15 ปี มีฟันผุร้อยละ 62.1 ซึ่งยังอยู่ในระดับสูง และมีแนวโน้มที่เพิ่มมากขึ้นทุกครั้งที่สำรวจ การผุที่พบในฟันแท้ส่วนใหญ่เป็นรอยผุบนด้านบดเคี้ยวของฟันธรรมแท้ที่หนึ่ง โดยจะพบฟันผุในฟันธรรมล่างมากกว่าฟันธรรมบน<sup>1</sup> ทั้งที่มีการเพิ่มมาตรการป้องกันต่าง ๆ และมีการตรวจวินิจฉัยฟันผุบนด้านบดเคี้ยวอย่างมีประสิทธิภาพมากขึ้นก็ตาม เรายังพบว่าสัดส่วนฟันผุบนด้านบดเคี้ยวมีจำนวนเพิ่มมากขึ้น แม้ในบริเวณที่มีฟูลอกไวด์ในแหล่งน้ำดื่มคิดเป็นร้อยละ 80 ของรอยโรคพันผุที่เกิดใหม่ทั้งหมด<sup>2</sup> ทั้งนี้เป็นเพราะฟูลอกไวด์ที่ได้รับเข้าไปนั้นได้รับภายนหลังที่ฟันได้เริ่มผุแล้วผิวเคลือบฟัน Jessie แจ้งเร่งขึ้นแต่ชั้นเนื้อฟันยังคงมีเชื้อโรคและเกิดการผุต่อเคลือบฟันชั้นบนลิ่งปิดบังส่วนผุในชั้นเนื้อฟันที่ลูกلامไปแล้ว<sup>3,4</sup> รอยโรคชนิดนี้จึงเป็นปัญหาที่พบมากของรอยโรคพันผุ<sup>5–10</sup> ในปัจจุบันพบว่ามีเยาวชนที่ได้รับการตรวจทางคลินิกไม่พบฟันผุในช่องปากเป็นจำนวนมากขึ้น แต่มีอัตราการตรวจทางภาพรังสีโดยใช้ภาพรังสีบีทิง (bitewing radiograph) กลับตรวจบรรยายโดยโรคฟันผุเป็นเงาดำอยู่ภายใต้ฟันบนบริเวณด้านบดเคี้ยวของฟันลิ่งเกิดคำจำกัดความว่า “ฟันผุแอบแฝงบนด้านบดเคี้ยว” (Occlusal Hidden Caries)<sup>11–16</sup> ซึ่งใช้อธิบายรอยโรคพันผุที่พบในชั้นเนื้อฟันจากภาพรังสีบีทิงซึ่งจากการตรวจทางคลินิกพบว่า เคลือบฟันบนด้านบดเคี้ยวปกติหรือมีเพียงการสูญเสียเรื่องร่องรอยที่ไม่สามารถมองเห็นได้ เช่น แต่อย่างไรก็ตามธรรมชาติของรอยโรคนี้ สาเหตุและเหตุผลที่รอยโรคนี้ไม่ถูกตรวจพบจากการตรวจวินิจฉัยเบื้องต้นนั้นยังไม่มีความแน่นอนซึ่งจำเป็นต้องมีการศึกษาต่อไป

## ความชุกของการเกิดโรคฟันผุแอบแฝงบนด้านบดเคี้ยว

Creanor และคณะ (1982) ได้ศึกษาในกลุ่มที่ใช้ยาสีฟันป้องกันฟันผุ โดยเปรียบเทียบผลการตรวจน้ำทางคลินิกในฟันที่ปกติไม่มีการเปลี่ยนสีและมีแพร์ตี (ตรวจโดยใช้

เครื่องมือปลายทู่) กับผลทางภาพรังสี พบว่า ฟันธรรมบนแท้ที่ตรวจทางคลินิกกลุ่มปกติแตกเมื่อเวลา 7 นาที ฟันธรรมล่างแท้พบร้อยละ 7.2 และพบว่าเป็นฟันผุแอบแฝงในฟันธรรมล่างมากที่สุดร้อยละ 11.8 รองลงมาคือ ฟันธรรมบนแท้ร้อยละ 3.1 และพบในฟันธรรมน้อยบนน้อยที่สุดคือร้อยละ 0.8<sup>17</sup> Kidd และคณะทำการศึกษาคล้ายกันกับพบว่า ฟันธรรมล่างแท้ที่ตรวจพบฟันผุแอบแฝงบนด้านบดเคี้ยว (ร้อยละ 12.9) มากกว่าฟันธรรมบนแท้ (ร้อยละ 6.3)<sup>18</sup> จากการศึกษาของชาวตัดหินพบว่าความชุกของการเกิดฟันผุแอบแฝงในชั้นเนื้อฟันทางด้านบดเคี้ยวของฟันจะเพิ่มขึ้นเมื่อมีอายุมากขึ้นคือในกลุ่มอายุ 14 ปี มีความชุกร้อยละ 26 อายุ 17 ปี พบได้ร้อยละ 37.5 และอายุ 25 ปี พบได้ร้อยละ 50 ของประชากรในกลุ่มอายุนั้น<sup>19</sup> นอกจากนี้ยังพบว่าฟันที่ได้รับการเคลือบหลุมร่องฟันมากกว่าร้อยละ 58 มีแนวโน้มที่จะเกิดฟันผุแอบแฝงอยู่ก่อนเคลือบหลุมร่องฟัน ซึ่งอาจเกิดจากการตรวจผิดพลาดหรือตรวจไม่ละเอียดเพียงพอ โดยไม่ได้ถ่ายภาพรังสีประกอบการตรวจค่อนเคลือบหลุมร่องฟันไม่ใช่เกิดฟันผุแอบแฝงหลังจากเคลือบหลุมร่องฟัน<sup>20</sup> ดังนั้นจึงเป็นสิ่งจำเป็นยิ่งที่ควรจะมีการทดลองทางคลินิกในระยะยาวเกี่ยวกับฟันผุแอบแฝงบนด้านบดเคี้ยวต่อไป

## ลักษณะทางคลินิกของฟันผุแอบแฝงบนด้านบดเคี้ยว

ลักษณะเคลือบฟันบนด้านบดเคี้ยวมักมีลักษณะปกติหรืออาจมีการสูญเสียเรื่อดุบงส่วนหรือมีคราบสีติด แต่หากการตรวจน้ำทางคลินิกแล้ววินิจฉัยว่าฟันซึ่นน้ำปลดฟันผุ<sup>11–14</sup>

## การวินิจฉัย

เนื่องจากฟันผุแอบแฝงถูกพิจารณาว่าเป็นฟันผุในชั้นเนื้อฟัน ดังนั้นการตรวจด้วยตาเปล่าหรือชุดตรวจปกติทางคลินิกอาจทำให้ตรวจฟันผุได้น้อยกว่าความเป็นจริง จึงจำเป็นต้องมีอุปกรณ์ช่วยในการตรวจวินิจฉัย ในปัจจุบันนี้ภาพรังสีบีทิงได้รับการยอมรับว่าเป็นวิธีที่ดีที่สุด<sup>4</sup> สะดวก และค่าใช้จ่ายถูก เมื่อเทียบกับอุปกรณ์อื่น ๆ ซึ่งคล้ายกับรายงานของ Kidd และคณะ<sup>16</sup> และ Nytun และคณะ<sup>21</sup> ที่พบว่าภาพรังสีช่วยเพิ่มความถูกต้องในการวินิจฉัยฟันผุ แต่ภาพรังสีในแนวไกล์แก้ม

ไกลัลล์ (periapical radiograph) หรือภาพรังสีพานอรามิก (panoramic radiograph) ก็สามารถใช้ได้แม้นว่าจะมีความแปร่ย้ายกว่าก็ตาม<sup>4</sup>

## พยาธิสภาพ

ฟันผุรอบແ geg แห้งจะพบได้ ๒ ตำแหน่ง คือ บริเวณผิวนสดใกล้กับขอบนสดของหลุมร่องฟันทางด้านบดเดี้ยวย ซึ่งมักมีอาการและคราบจุลทรรษามาสะสมอยู่<sup>13</sup> อีกบริเวณ ก็คือ บริเวณด้านข้างภายในร่องฟันใกล้กับจุดลึกสดของร่องฟันซึ่งมักเป็นตำแหน่งที่ถูกปิดบังจากการมองเห็นได้ด้วยตาเปล่า<sup>22</sup> ปัจจัยที่ทำให้เกิดฟันผุจะเข้ามาถึงแบคทีเรียบริเวณเหล่านี้โดยผ่านมาทางหลุมร่องฟันบนด้านบดเดี้ยวยและข่องเหลวที่มาจากการเนื้อเยื่อประสาทฟัน (pulpal tissue fluid) ซึ่งผ่านมาทางห้องท่อเนื้อฟัน (dental tubule)<sup>23</sup> ซึ่งทำให้แบคทีเรียสามารถดำรงชีวิตอยู่ได้ในหลุมร่องลึก ๆ จึงทำให้การดำเนินไปของรอยโรคยังคงลุก燥มอมงเห็นได้ด้วยไม่สามารถมองเห็นได้ด้วยตาเปล่า<sup>19</sup> ปัจจุบันพยาธิสภาพของการเกิดฟันผุรอบແ geg ยังคงยึดถือตามขบวนการเกิดฟันผุและมีการศึกษาถึงระดับจุลชีววิทยาซึ่งรายงานว่า เนื้อส่วนใหญ่ที่พบเป็นเชื้อมิวแทนส์ สเตรปโตโคคคิ (Mutans streptococci) และ แลคโทบาซิลล์ (Lactobacilli)<sup>24</sup>

## ความสัมพันธ์ของฟันผุรอบແ geg กับฟลูออิร์ด

มีสมมติฐานว่าฟลูออิร์ดอาจมีส่วนเกี่ยวข้องกับการเกิดฟันผุรอบແ geg โดยไปกระตุ้นการตกหลักข้อของแร่ธาตุในชั้นเคลือบฟันซึ่งทำให้เกิดการลุก燥ของรอยโรคชั้ลง<sup>25,26</sup> มีการศึกษาเบรียบเทียบพบว่าจำนวนของฟันผุรอบແ geg ในฟันธรรมแท้ที่พบในบริเวณที่มีฟลูออิร์ดในน้ำเท่ากับในบริเวณที่ไม่ได้รับฟลูออิร์ดเสริม แสดงว่าฟันผุรอบແ geg ไม่ใช่ปัจจัยการณ์ใหม่และอาจจะไม่สัมพันธ์โดยตรงกับปริมาณฟลูออิร์ดอ่อนที่ได้รับ และในประชากรที่ไม่ได้รับฟลูออิร์ดเสริมก็มีโอกาสตรวจพบฟันผุรอบແ geg ได้เช่นเดียวกัน ดังนั้นฟลูออิร์ดจึงมีความสัมพันธ์เพียงเล็กน้อยกับการเกิดฟันผุรอบແ geg<sup>27</sup>

## การรักษา

เนื่องจากในชั้นเนื้อฟันของฟันแท้จะมีสีอ่อน และเนื้อ

ฟันค่อนข้างนิ่ม<sup>24</sup> และการเกิดฟันผุในชั้นเนื้อฟันมีเชื้อเหมือนกับฟันผุที่มีแคร์หรือฟันผุที่สามารถมองเห็นได้ด้วยตาเปล่ามีความซับซ้อนของเชื้อน้อยกว่าแต่เมื่อปริมาณเชื้อมิวแทนส์สเตรปโตโคคคิ และเชื้อแลคโทบาซิลล์มากกว่า เชื้ออีกฯ ซึ่งทำให้เนื้อฟันที่มีลักษณะนิ่ม สีอ่อน และบ่งชี้ว่าเป็นฟันผุระยะลุก燥 (active caries)<sup>28</sup> การรักษาจึงทำได้โดยการกำจัดเนื้อฟันส่วนที่นิ่มหรือมีเชื้อออกรหงุม แลบูรณ์ด้วยวัสดุกดฟันตามความเหมาะสม<sup>14</sup>

บทความนี้เป็นรายงานการตรวจ วินิจฉัย และให้การรักษาทางทันตกรรมในผู้ป่วยที่มีฟันผุรอบແ geg บนด้านบดเดี้ยวย ของฟันกรามแท้ วัตถุประสงค์ในการเสนอบทความนี้เพื่อให้ทันตแพทย์ได้ตระหนักรถึงความสำคัญของการใช้ภาพรังสีใบพับ วิงเพื่อวินิจฉัยร่วมกับการตรวจทางคลินิกเพื่อลดความผิดพลาดในการตรวจวินิจฉัยไม่ให้มีฟันผุรอบແ geg ออกต่อไปและนำมาซึ่งการวางแผนการรักษาที่เหมาะสม

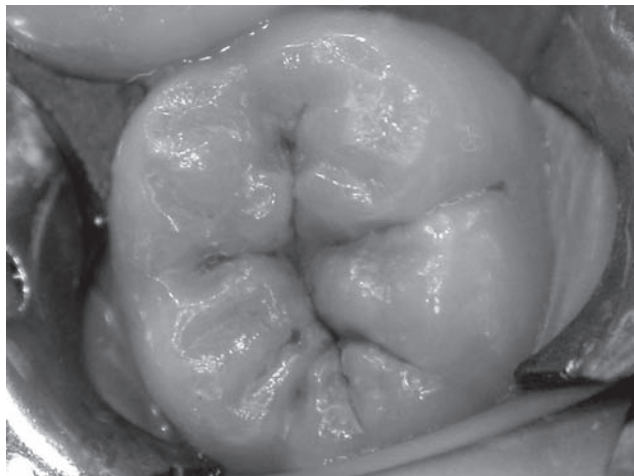
**รายงานผู้ป่วยรายที่ ๑ :** ผู้ป่วยหญิงไทย สอง อายุ ๑๕ ปี อาศัยพนักเรียน มาพบทันตแพทย์เพื่อตรวจสุขภาพฟัน ได้รับการตรวจวินิจฉัยว่าไม่พบฟันผุ แต่มี Hindin น้ำลายและเหงือกอักเสบเล็กน้อย ได้รับการส่งต่อเพื่อยุดหินน้ำลายและขัดฟัน

**ประวัติผู้ป่วย :** จากการซักประวัติผู้ป่วย พบว่า สุขภาพทั่วไปแข็งแรง ไม่มีโรคประจำตัว ไม่พบประวัติการแพ้ยา และไม่เคยได้รับฟลูออิร์ดเสริมชนิดอื่น นอกจากการแปรงฟันด้วยยาสีฟันผสมฟลูออิร์ด ๒ ครั้งต่อวัน (เช้า-เย็น)

**การตรวจทางคลินิกในช่องปาก :** พบรินน้ำลายและเหงือกอักเสบทั่วไป และบริเวณด้านบดเดี้ยวยของฟันมีคราบสีติดอยู่ทั่วไป เมื่อตรวจโดยใช้อัลกอริทึมพลอเรอร์ grade จกส่องฟันภายนอกแบบ Jakcom ไฟประจุนินิตทำฟันก์ไม่พบแคร์ตี (รูปที่ ๑.๑) มีค่าฟันแท้ผุ ถอน คุต (DMF) ๔ ชิ้น ๔ ด้าน และมีอนามัยช่องปาก (oral hygiene) อยู่ในเกณฑ์ปานกลาง

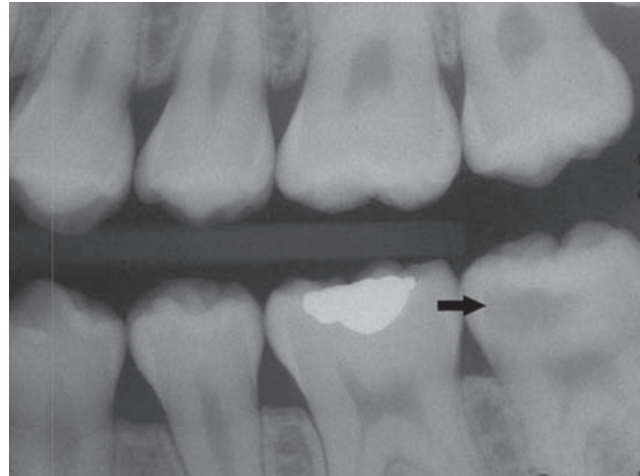
**การตรวจทางรังสี :** จากภาพรังสีใบพับเจ้าขนาดใหญ่เมื่อสั่นผ่าศูนย์กลางประมาณ ๔ มิลลิเมตรได้ชั้นเคลือบฟันภายในชั้นเนื้อฟันบริเวณด้านบดเดี้ยวยของฟัน # ๓๗ (รูปที่ ๑.๒)

**วินิจฉัย :** # ๓๗ มีฟันผุรอบແ geg บนด้านบดเดี้ยวย



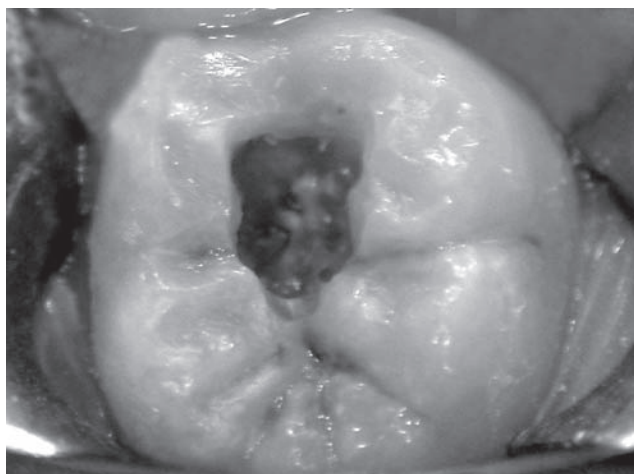
รูปที่ 1.1 ด้านบดเคี้ยวของฟัน # 37 ได้รับการวินิจฉัยว่าฟันไม่ผุ

**Fig. 1.1** The occlusal surface of # 37 was judged as clinically sound.



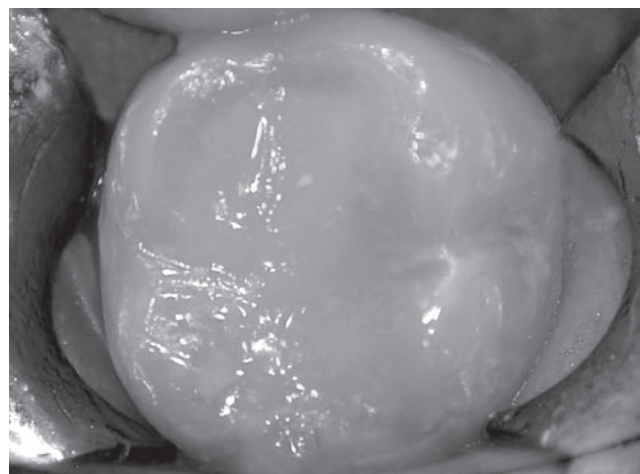
รูปที่ 1.2 ภาพรังสีไบท์วิงแสดงเงาดำขนาดใหญ่ (ลูกศร) อยู่ใต้หลุมร่องฟันด้านใกล้กลางของฟัน #37

**Fig. 1.2** On a bitewing radiograph the radiolucency (arrow) beneath the mesial fissure of # 37 is clearly visible.



รูปที่ 1.3 สภาพภายในฟัน

**Fig. 1.3** Internal appearance of the tooth



รูปที่ 1.4 ภายหลังการบูรณะด้วยวัสดุเรซิโนมโพลิสิต

**Fig. 1.4** After restored with resin composite

### การรักษาทางทันตกรรม :

1. อธิบายให้ผู้ป่วยทราบว่าตัวรู้จับฟันผุโดยให้ดูภาพรังสีประกอบการบูรณะฟัน และค่าใช้จ่าย
2. ตรวจจุดสบพันโดยใช้กระดาษตรวจตราจสอบจุดสูงน้ำเงิน-แดง (articulating paper)
3. ฉีดยาชา (Scandonest 2% special, Septodont, France) และใส่แผ่นยางกันน้ำลาย (rubber dam)

4. ทำความสะอาดฟันด้วยพัมมิช (pumice) ผสมน้ำ

5. เตรียมแคริบด้วยหัวรอกจากเพชรรูปกลม (round diamond bur) ให้มีขนาดตามความเหมาะสมของฟันผุ ซึ่งมีขนาดประมาณ  $5 \times 3 \times 4$  มิลลิเมตร ขอบของแคริบไม่อยู่บริเวณจุดสบพัน (รูปที่ 1.3) กรอฟันเพื่อกำจัดเนื้อฟันที่ผุด้วยหัวกรอลิหรือรูปทรงกลม (steel round bur) เบอร์ 6-8 และเครื่องมือปลายรูปช้อน (spoon excavator) ขนาดใหญ่

และคง โดยเริ่มจากชั้นบนก่อนทีละน้อยจนเหลือเนื้อฟันที่ไม่มีการติดเชื้อ

๖. ปิดทับด้วยแคลเซียมไฮดรอกไซด์ (Dycal<sup>®</sup>, Dentsply Caulk, USA) บริเวณที่ลึกใกล้โพรงประสาทฟันและปิดทับด้วยกลาสไอโอดีโนเมอร์ซีเมนต์ชนิดบ่มตัวเอง (GC lining cement, GC Corporation Tokyo, Japan) หนาประมาณ 2 มิลลิเมตร

๗. เลือกใช้ระบบยึดติดชนิดโททอลเอทช์ (total etch) โดยเลือกใช้วัสดุ Scotchbond<sup>TM</sup> Multi-Purpose (3M ESPE, USA) มีกรดฟอสฟอริก ความเข้มข้นร้อยละ 37 ทاที่เคลือบฟันและเนื้อฟันทึ้งไว้ประมาณ 15-20 วินาที ล้างด้วยน้ำประมาณ 10 วินาที เป้าเป้าฯด้วยลม ทาสารไพรเมอร์ (primer) ซึ่งเป็นสารปรับสภาพพิเศษฟันให้แทรกซึมเข้าไปตามผิวฟันที่ถูกปรับสภาพด้วยกรดทึ้งไว้ 15 วินาที แล้ว เป้าให้แห้ง จึงทาสารเอนทีซีฟาง ๆ แล้วฉายแสง 20 วินาที

๘. เลือกใช้เรซินคอมโพสิตชนิดไฮบริด (Filtek<sup>TM</sup> Z 250, 3M ESPE, USA) สี A3 บูรณะฟันให้เป็นรูปร่างตามด้านบดเคี้ยว โดยอุดเป็นชั้นๆ (incremental technique) หนาไม่เกินชั้นละ 2 มิลลิเมตรและฉายแสงด้วยเครื่องฉายแสง (light curing unit) เอกซ์เซล 3000 (XL 3000, 3M ESPE Dental Products, St. Paul, MN, USA) ซึ่งมีความเข้มของแสงไม่น้อยกว่า 400 มิลลิวัตต์ต่อตารางเซนติเมตรเป็นเวลา 40 วินาที (รูปที่ 1.4)

๙. ขัดแต่งให้มีสัดส่วน รูปร่างตามมาตรฐานด้วยหัวกรอจับผงเพชรละเอียดรูปทรงกลม (fined and ultrafine diamond round finishing bur, Comoshape, Intersiv, USA) หัวกรอขัดเรียบเรชินชนิดอ่อนรูปดอกบัว (soft resin impregnated polishing bur) หัวกรอขัดร่วมกับผงขัดชนิดละเอียดและละเอียดมาก (Prisma gloss-fine and ultrafine, Dentsply, USA) ตามลำดับ ตรวจการสบพันและกรอบดเคี้ยวไม่ให้มีการสบกระแทกผิดปกติ ถ้ามีจะต้องแก้ไขไม่ให้เกิดการบาดเจ็บจากการสบพัน (traumatic occlusion) แม้นการแก้ไขจะทำให้รูปร่างของฟันเปลี่ยนแปลงไปบ้าง

๑๐. ภายหลังการขัดทำการเคลือบผิวเรชินคอมโพสิตด้วยสารเรชิน โดยใช้กรดฟอสฟอริกทับสภาพฟันไว้ประมาณ 15-20 วินาที ล้างน้ำและเป้าให้แห้ง ทาสารเรชินใสเคลือบที่พื้นผิว (Fortify<sup>TM</sup>, Bisco, USA) และฉายแสง

เป็นเวลา 20 วินาที

**รายงานผู้ป่วยรายที่ ๒ :** ผู้ป่วยหญิงไทยสูด อายุ ๔๔ ปี อาชีพรับจ้าง ภาพทันตแพทย์เพื่อตรวจสุขภาพฟันและขุดหินน้ำลาย

**ประวัติผู้ป่วย :** จากการซักประวัติพบว่า สุขภาพทั่วไปแจ้งเรือง ไม่มีโรคประจำตัว ไม่พบประวัติการแพ้ยาและไม่เคยได้รับฟลูออร์เสริมชนิดอื่น นอกจากการแปรงฟันด้วยยาสีฟันผสมฟลูออร์ อย่างน้อยวันละ ๒ ครั้ง เช้า เย็นและหลังรับประทานอาหาร

**การตรวจทางคลินิกในช่องปาก :** มีหินน้ำลายและเหงือกอักเสบเล็กน้อย โดยเฉพาะบริเวณฟันหน้าล่าง เมื่อตรวจโดยใช้อ็อกซ์พลอเรอร์ และกระดาษสองฟันภายใต้แสงไฟจากโคมไฟประจุยนิตทำฟันไม่พบแครกติ (รูปที่ 2.1) มีค่าฟันแท้ผุ ถอน อุด ๕ ซี่ 6 ด้าน และมีอนามัยช่องปาก อยู่ในเกณฑ์ดี

**การตรวจทางรังสี :** จากภาพรังสีใบทึบพبغeda คำว่าขนาดเล็บผ่าศูนย์กลางประมาณ 2 มิลลิเมตรได้ชั้นเคลือบฟันภายในชั้นเนื้อฟันบริเวณด้านบดเคี้ยวของฟัน # 46 (รูปที่ 2.2)

**วินิจฉัย :** # 46 มีฟันผุ一棵ແঁং বন দান বড় দান বড় দান বড় দান

### การรักษาทางทันตกรรม :

๑. อดีบายให้ผู้ป่วยทราบว่าตราชากพบฟันผุโดยให้ดูภาพรังสีประกอบการบูรณะฟัน และคำใช้จ่าย

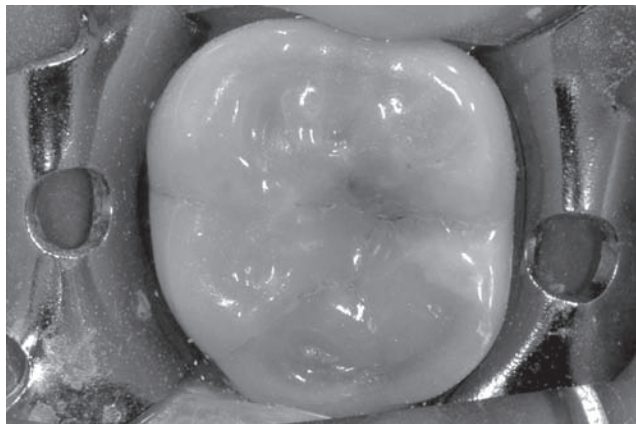
๒. ตรวจจุดสบพันโดยใช้กระดาษตรวจสบบจุดสูงน้ำเงิน-แดง

๓. ฉีดยาชา (Scandonest 2% special, Septodont, France) และใส่แผ่นยางกันน้ำลาย

๔. ทำความสะอาดฟันด้วยพัมมิชสมน้ำ

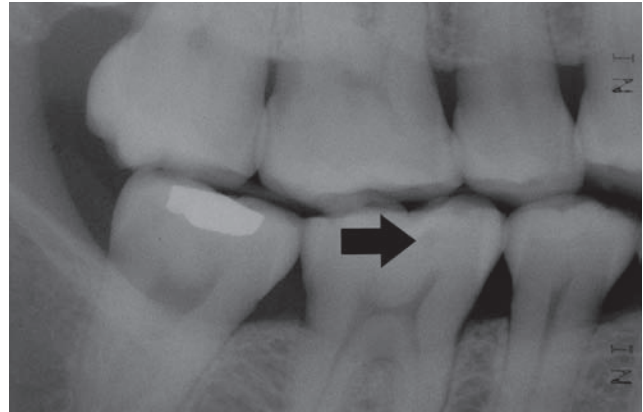
๕. เตรียมแครกติด้วยหัวกรอกากเพชรรูปกลม ให้เข้าขนาดตามความเหมาะสมของฟันผุ ซึ่งมีขนาดประมาณ 3x2x2 มิลลิเมตร ขอบของแครกติไม่อยู่บริเวณจุดสบพัน (รูปที่ 2.3) กรอบฟันเพื่อกำจัดเนื้อฟันที่ผุด้วย หัวกรอไล่ระบุปทรงกลมเบอร์ 4 จนเหลือเนื้อฟันที่ไม่มีการติดเชื้อ

๖. เลือกใช้ระบบยึดติดชนิดโททอลเอทช์ โดยเลือกใช้วัสดุ Scotchbond<sup>TM</sup> Multi-Purpose (3M ESPE, USA) มีกรดฟอสฟอริก ความเข้มข้นร้อยละ 37 ทาที่เคลือบฟันและเนื้อฟันทึ้งไว้ประมาณ 15-20 วินาที ล้างด้วยน้ำประมาณ



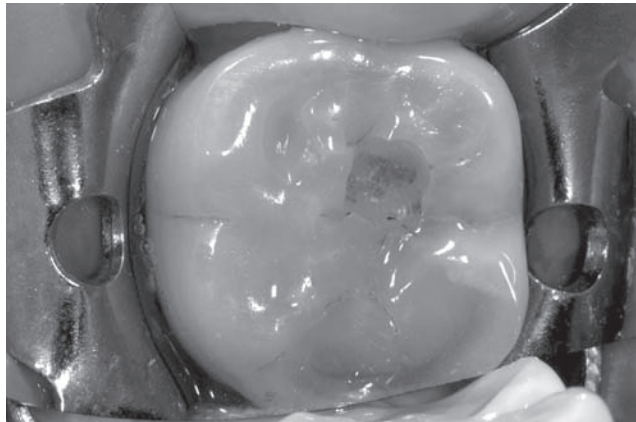
รูปที่ 2.1 ด้านบดเคี้ยวของฟัน # 46 ได้รับการวินิจฉัยว่าไม่ผิด

**Fig. 2.1** The occlusal surface of # 46 was judged as clinically sound.



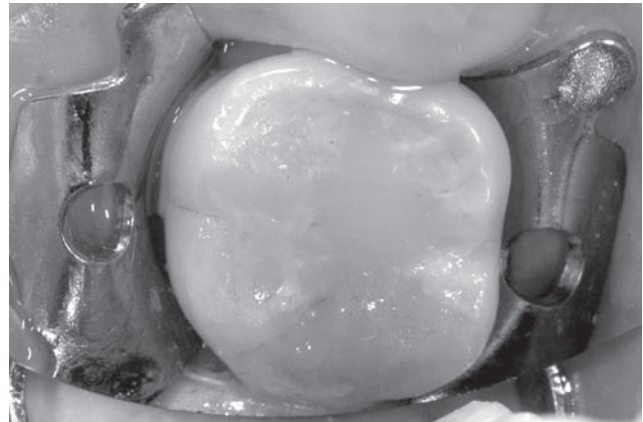
รูปที่ 2.2 ภาพรังสีเบทิวינגแสดงเงาดำ (ลูกศร) อยู่ใต้หลุมร่องฟันของฟัน # 46

**Fig. 2.2** On a bitewing radiograph the radiolucency (arrow) beneath the fissure of # 46 is visible.



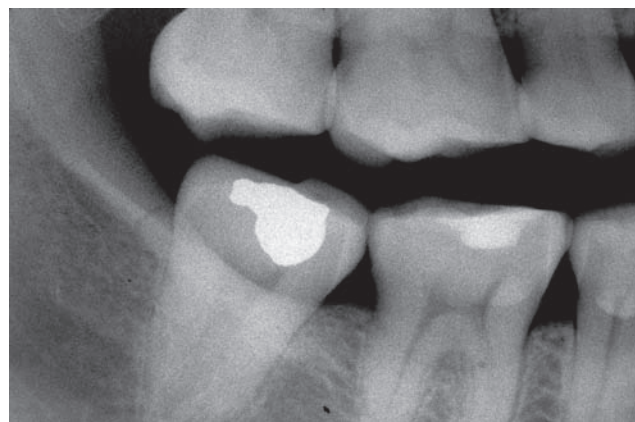
รูปที่ 2.3 สภาพภายในฟัน

**Fig. 2.3** Internal appearance of tooth



รูปที่ 2.4 ภายหลังการบูรณะด้วยสัดเรซิโนมโพลิเมต

**Fig. 2.4** After restored with resin composite



รูปที่ 2.5 ภาพรังสีเบทิวינגภายหลังการบูรณะฟัน

**Fig. 2.5** A bitewing radiograph after being restorated

๑๐ วินาที เป้าเบาๆด้วยลม ทาสารไฟรมอร์ ซึ่งเป็นสารปรับสภาพผิวฟันให้แทรกซึมเข้าไปตามผิวฟันที่ถูกปรับสภาพด้วยกรดทึบไว้ ๑๕ วินาที แล้วเป่าให้แห้ง จึงทาสารแออกไฮดีฟบานฯ และข่ายแสง ๒๐ วินาที

๗. เลือกใช้เรซิโนมโพลิสิตชนิดไอบริด (Filtek<sup>TM</sup> Z250, 3M ESPE, USA) สี A3.5 บูรณะพันให้เป็นรูปว่างตามด้านบดเคี้ยว โดยอุดเป็นชั้นๆ หนาไม่เกินชั้นละ 2 มิลลิเมตรและข่ายแสงด้วยเครื่องข่ายแสง เอกซ์แอล ๓๐๐๐ (XL 3000, 3M ESPE Dental Products, St.Paul, MN, USA) ซึ่งมีความเข้มของแสงไม่น้อยกว่า 400 มิลลิวัตต์ต่อตารางเซนติเมตรเป็นเวลา ๔๐ วินาที (รูปที่ ๒.๔)

๘. ขัดแต่งให้มีสัดส่วน รูปว่างตามมาตรฐานด้วยหัวกรอฉาบผงเพชรละเอียดรูปทรงกลม หัวกรอขัดเรียบเรซิโนม อ่อนรูปดอกบัว หัวกรอขัดร่วมกับผงขัดชนิดละเอียดและละเอียดมาก ตามลำดับ ตรวจการสอบพันและการบดเคี้ยวไม่ให้มีการสอบกราฟิกผิดปกติ ถ้ามีจะต้องแก้ไขไม่ให้เกิดการบาดเจ็บจากการสอบพัน แม้การแก้ไขจะทำให้รูปว่างของพันเปลี่ยนแปลงไปบ้าง

๙. ภายนหลังการขัดทำการเคลือบผิวเรซิโนมโพลิสิตด้วยสารเรซิโนมโดยใช้กรดฟอสฟอริกทาปรับสภาพฟันไว้ประมาณ ๑๕-๒๐ วินาที ล้างน้ำและเป้าให้แห้ง ทาสารเรซิโนมเคลือบที่พื้นผิว และข่ายแสงเป็นเวลา ๒๐ วินาที

๑๐. ถ่ายภาพรังสีภายหลังการบูรณะ (รูป ๒.๕)

## วิจารณ์

รายงานนี้เป็นการตรวจวินิจฉัยและให้การรักษาทางทันตกรรมในผู้ป่วยที่มีฟันผุและบูรณะด้านบดเคี้ยวของพันกรรมแท้ ซึ่งเมื่อพิจารณาลักษณะทางกายวิภาคบนด้านบดเคี้ยวของพันกรรมแท้จะพบว่ามีหลุมร่องแคบลึกและมีจำนวนมาก ซึ่งทำให้การตรวจสอบด้วยตาเปล่าเพียงอย่างเดียว หรือใช้เอกซ์เพลอร์ร์ว่ามีก็อาจทำให้การตรวจพัสดุจึงเกิดเป็นพันผุและบูรณะขึ้น มีรายงานการศึกษาที่แสดงว่า การใช้เอกซ์เพลอร์ร์ไม่ได้ช่วยเพิ่มประสิทธิภาพในการวินิจฉัยฟันผุที่ยังไม่เห็นเป็นแควิตี้ซัคเจน เมื่อเทียบกับการตรวจด้วยตาเปล่า<sup>๓๐-๓๑</sup> และการใช้ภาพรังสีสามารถช่วยวินิจฉัยฟันผุด้านประชิดของพันได้ดี และมีประโยชน์อย่างมากในการวินิจฉัยฟันผุบนด้านบดเคี้ยว<sup>๒๙,๓๒</sup> เนื่องจากภาพรังสีมีอัตราความถูกต้องใน

การวินิจฉัยฟันผุที่อยู่ที่ระดับความลึกที่แตกต่าง ๆ กันได้ไม่เท่ากันคือ รอยโรคที่อยู่ในระดับเนื้อฟันชั้นกลางสามารถวินิจฉัยจากภาพรังสีได้ถูกต้องเพิ่มขึ้นร้อยละ ๒๖ ที่ระดับเนื้อฟันชั้นนอกสามารถวินิจฉัยได้ถูกต้องเพิ่มร้อยละ ๗ ส่วนรอยโรคที่ชั้นเคลือบฟันภาพรังสีไม่มีผลต่อการเพิ่มความถูกต้องในการวินิจฉัยฟันผุ จึงสอดคล้องกับรายงานต่าง ๆ ที่ว่าภาพรังสีมีส่วนช่วยการตรวจวินิจฉัยฟันผุบนด้านบดเคี้ยวได้น้อย โดยเฉพาะรอยผุดิน<sup>๓๓-๓๖</sup> ซึ่งเป็นผลจากเคลือบฟันทางด้านแก้มและด้านลิ้นบังทับแบ่ง (fossa) นอกจากนี้ความทึบแสงของเคลือบฟันกับเนื้อฟันที่แตกต่างกัน จึงทำให้การมองเห็นรอยผุได้ชัดขึ้น เมื่อรอยผุอยู่ในเนื้อฟันมากกว่า ๐.๕ มม.<sup>๓๗</sup> ในกรณีที่ฟันผุเป็นโพรงในเนื้อฟันแต่มองเห็นว่าเคลือบฟันยังดีอยู่ เพราะมีการสะสมเรื่องธาตุกลับคืนภายในหลังจากที่เริ่มผุไปแล้วนั้น<sup>๔</sup> ภาพรังสีใบทึบจะช่วยในการวินิจฉัยได้ดีและเกิดประโยชน์พอ ๆ กับการตรวจวินิจฉัยฟันผุทางด้านประชิด<sup>๓๙,๔๐</sup> ดังนั้นในรายงานนี้จึงใช้ภาพรังสีใบทึบเพื่อวินิจฉัยฟันผุทางด้านประชิด<sup>๔๑</sup> และสามารถตรวจพบฟันผุขอบแฟรงบันด้านบดเคี้ยว นอกจากภาพรังสีแล้วยังมีอุปกรณ์อื่นที่ช่วยตรวจ เช่น ไฟเบอร์-อปติก ทรานซิลลูมิเนชัน (fiber-optic transillumination, FOTI)<sup>๔๒,๔๓</sup> การเปล่งแสงเลเซอร์ (laser luminescence)<sup>๔๔,๔๕</sup> การกระเจิงแสง (light scattering)<sup>๔๖</sup> การวัดความต้านทานทางไฟฟ้า (electrical resistance measurement, ERM)<sup>๔๗,๔๘</sup> และการย้อมสีตรวจรอยผุ<sup>๔๙</sup> เป็นต้น ซึ่งมีรายงานว่า การวัดความต้านทานทางไฟฟ้ามีความไวมากที่สุด เนื่องจากสามารถตรวจวัดการสูญเสียเรื่องธาตุของฟันที่เกิดขึ้นแม้เพียงเล็กน้อยบริเวณหลุมร่องฟันได้ ก่อนที่จะสามารถตรวจพบรอยโรคจากภาพรังสี ขณะที่การตรวจด้วยตาเปล่ามีประสิทธิภาพน้อยที่สุด ส่วนภาพรังสีและไฟเบอร์-อปติก ทรานซิลลูมิเนชันมีประสิทธิภาพปานกลาง<sup>๕๐</sup> แต่ถึงจะมีอุปกรณ์อื่น ๆ อย่างหลายชนิดแต่ก็ยังแนะนำให้ใช้ภาพรังสีใบทึบเป็นตัวช่วยวินิจฉัยฟันผุขอบแฟรงบันด้านบดเคี้ยว เพราะสามารถบอกความลึกของพันผุที่ลูกคามว่าใกล้ไฟฟ้าประสาทฟันหรือไม่เพื่อการวางแผนการรักษาที่เหมาะสม<sup>๕๑</sup> ดังนี้คือ ถ้าหลุมร่องฟันมีการเปลี่ยนสีและไม่พบเบาดำเนินชั้นเนื้อฟันจากภาพรังสีใบทึบ ควรให้การรักษาโดยการเคลือบหลุมร่องฟัน เพราะมีปริมาณเชื้อออยู่น้อย โดยมีการศึกษาพบว่าจากภาพรังสีที่มีเงาดำเนินเนื้อฟันจะมีปริมาณเชื้อแบคทีเรีย

มากกว่าภารังสีที่ไม่มีเจาดำเนินชั้นเนื้อฟัน และเนื้อฟันที่มีลักษณะนิ่ม และเปียก จะมีปริมาณเชือแบบที่เรียมากกว่าเนื้อฟันที่มีลักษณะแห้งและแข็ง<sup>52</sup> ดังนั้นในฟันที่ตรวจพบเจาดำเนินชั้นเนื้อฟันจากภารังสีจะมีความจำเป็นต้องกำจัดเนื้อฟันที่มีเชือแบบที่เรียจำนวนมากออกให้หมดจนเหลือเนื้อฟันที่มีลักษณะแห้งและแข็ง เนื่องจากปริมาณเชือที่มากเหล่านี้สามารถมีชีวิตอยู่ได้ฟันที่ถูกเคลือบหลุมร่องฟันไว้ และเกิดการผุลุกตามต่อไป<sup>28</sup> รายงานนี้จึงเลือกวิธีรักษาโดยกำจัดเนื้อฟันที่ผุและบูรณะด้วยเรซินคอมโพสิตซึ่งยึดหลักการอนุรักษ์ คือไม่ทำให้มีการสูญเสียเนื้อฟันมากเกินความจำเป็น เพราะเรซินคอมโพสิตสามารถยึดติดกับเคลือบฟันและเนื้อฟัน จึงช่วยถอนเนื้อฟันให้คงความสวยงามและมีความแข็งแรง ทนทานต่อการใช้งานตลอดไป<sup>53</sup>

## สรุป

ฟันผุแบบแ Ferguson ด้านบนเดียวของฟันกรามแท้เป็นรอยโรคซึ่งเป็นผลเนื่องมาจากการตรวจวินิจฉัยด้วยตาเปล่าหรือร่วมกับการใช้อ็อกซ์พลอเรอร์ ช่วยตรวจจ่ายผู้ระยะเริ่มแรกซึ่งมักตรวจวินิจฉัยรอยโรคได้ต่ำกว่าความเป็นจริง แต่ถ้าใช้ภารังสีใบหัวใจเข้าร่วมวินิจฉัยจะทำให้สามารถตรวจพบฟันผุแบบแ Ferguson ได้ก่อนที่รอยโรคจะลุกตามจนถึงไฟฟ์ประสาทฟัน และไม่เป็นฟันผุแบบแ Ferguson อีกต่อไป ทั้งยังสามารถให้การรักษาที่เหมาะสมเป็นการยับยั้งการลุกตามของโรคเพื่อลดเลิกเลี่ยงการรักษาคล่องรากฟันหรือการถอนฟัน ดังนั้นทันตแพทย์ทุกคนควรระหนักรึงความสำคัญของภารังสีใบหัวใจในฐานะที่เป็นส่วนประกอบสำคัญในการวินิจฉัยฟันผุ

## เอกสารอ้างอิง

1. Dental Health Division, Department of Health. The 5th Thailand Oral Health Survey, 2000-01. Nonthaburi: Ministry of Public Health; 2001 (In Thai).
2. Newbrun E. Problems in caries diagnosis. Int Dent J. 1993;43(2):133-42.
3. Sjogren K, Birkhed D. Factors related to fluoride retention after tooth-brushing and possible connection to caries activity. Caries Res. 1993;27(6):474-7.
4. Millman CK. Fluoride syndrome. Br Dent J. 1984;157(10):341.
5. Anderson RJ. Changing in dental caries experience of 12-year-old school children in two Somerset schools: a review after an interval of 30 years. Br Dent J. 1995;179(4):125-9.
6. Konig KG. Impact of changes in caries prevalence on research. Int Dent J. 1994;44 ( Suppl 1):451-6.
7. Ripa LW, Leske GS, Sposato A. The surface-specific caries pattern of participants in a school-based fluoride mouth rinsing program with implications for the use of sealants. J Public Health Dent. 1985;45(2):90-4.
8. Ripa LW, Leske GS, Varma AO. Longitudinal study of the caries susceptibility of occlusal and proximal surfaces of first permanent molar. J Public Health Dent. 1988;48(1):8-13.
9. Dummer PM, Oliver SJ, Hicks R. Factors influencing the initiation of carious lesion in specific tooth surfaces over a 4-years period in children between the ages of 11-12 years and 15-16 years. J Dent. 1990;18(4):190-7.
10. Pitts NB, Davies JA. The Scottish Health Boards' Dental Epidemiological Programme: initial surveys of 5-12-year-olds. Br Dent J. 1992;172(11):408-13.
11. Ball IA. The 'fluoride syndrome': occult caries? Br Dent J. 1986;160(3):75-6.
12. Page J. The 'fluoride syndrome': occult caries? Br Dent J. 1986;160(7):228.
13. Ricketts D, Kidd E, Weerheijm K, de Soet H. Hidden Caries : What is it ? Does it exist? Does it matter? Int Dent J. 1997;47(5):259-65.
14. Weerheijm KL. Occlusal 'hidden caries'. Dent

- Update. 1997;24(5):182-4.
15. Seow WK. Pre-eruptive intracoronal resorption as an entity of occult caries. *Pediatr Dent.* 2000; 22(5):370-6.
  16. Kidd EA, Ricketts DN, Pitts NB. Occlusal caries diagnosis: a changing challenge for clinicians and epidemiologists. *J Dent.* 1993;21(6): 323-31.
  17. Creanor SL, Russel JI, Strang DM, Stephen KW, Burchell CK. The prevalence of clinically undetected occlusal dentine caries in Scottish adolescents. *Br Dent J.* 1990;169(5):126-9.
  18. Kidd EA, Naylor MN, Wilson RF. Prevalence of clinically undetected and untreated molar occlusal dentine caries in adolescents on the Isle of Wigth. *Caries Res.* 1992;26(5):397-401.
  19. Weerheijm KL, Gruythuysen RJ, van Amerongen WE. Prevalence of hidden caries. *ASDC J Dent Child.* 1992;59(6):408-12.
  20. Weerheijm KL, Groen HJ, Bast AJ. Clinically undetected occlusal dental caries: a radiographic comparison. *Caries Res.* 1992;26(4):305-9.
  21. Nytun RB, Raadal M, Espelid I. Diagnosis of dentin involvement in occlusal caries based on visual and radiographic examination of the teeth. *Scand J dent Res.* 1992;100(3):144-8.
  22. Juhl M. Localization of caries lesion in occlusal pits and fissures of human premolars. *Scand J Dent Res.* 1983;91:251-5.
  23. de Soet JJ, Weerheijm KL, van Amerongen WE, et al. A comparison of the microbial flora in carious dentine of clinically detectable and undetectable occlusal lesions. *Caries Res.* 1995;29(1): 46-9.
  24. Weerheijm KL, de Soet JJ, de Graaff J, van Amerongen WE. Occlusal hidden caries: a bacteriological profile. *ASDC J Dent Child.* 1990; 57(6):428-32.
  25. Silverstone LM, Hicks MJ, Featherstone MJ. Dynamic factors affecting lesion initiation and progression in human dental enamel. Part I. The dynamic nature of dental caries. *Quintessence Int.* 1988;19:683-711.
  26. Silverstone LM, Hicks MJ, Featherstone MJ. Dynamic factors affecting lesion initiation and progression in human dental enamel. Part II. Surface morphology of sound enamel and caries-like lesions of enamel. *Quintessence Int.* 1988;19: 773-85.
  27. Weerheijm KL, Kidd EA, Groen HJ. The effect of fluoridation on the occurrence of hidden caries in clinically sound occlusal surfaces. *Caries Res.* 1997;31(1):30-4.
  28. Weerheijm KL, de Soet JJ, van Amerongen WE, et al. Sealing of occlusal hidden caries lesions: An alternative for curative treatment? *ASDC J Dent Child.* 1992;59(4):263-8.
  29. Weerheijm KL, van Amerongen WE, Eggink CO. The clinical diagnosis of occlusal caries: a problem. *ASDC J Dent Child.* 1989;56(3):196-200.
  30. Lussi A. Validity of diagnostic and treatment decisions of fissure caries. *Caries Res.* 1991;25(4): 296-303.
  31. Ekstrand K, Qvist V, Thylstrup A. Light microscope study of the effect of probing in occlusal surfaces. *Caries Res.* 1987;21(4):368-74.
  32. Mitropoulos CM. A comparison of fiber-optic transillumination with bitewing radiographs. *Br Dent J.* 1985;159(1):21-3.
  33. Mileman PA, Purcell-Lewis DJ, van der Weele LT. Variation in radiographic caries diagnosis and treatment decisions among university teachers.

- Community Dent Oral Epidemiol. 1982;10(6):329-34.
34. van Amerongen JP, Penning C, Kidd EAM, ten Cate JM. An in vitro assessment of the extent of caries under small occlusal cavities. *Caries Res.* 1992;26(2):89-93.
35. Ekstrand KR, Kuzmina I, Bjorndal L, Thylstrup A. Relationship between external and histologic features of progressive stages of caries in the occlusal fossa. *Caries Res.* 1995;29(4):243-50.
36. Verdonschot EH, Bronkhorst EM, Burgersdijk RC, Konig KG, Schaeken MJ, Truin GJ. Performance of some diagnostic systems in examinations for small occlusals carious lesions. *Caries Res.* 1992;26(1):59-64.
37. Berry HM Jr. Cervical burnout and Mach board: Two shadows of doubt in radiologic interpretation of carious lesions. *J Am Dent Asso.* 1983;106(5):662-5.
38. van Amerongen JP, van Amerongen-Pieko A, Penning C. Validity of caries diagnosis in molars with discolored fissure by radiography. *J Dent Res.* 1993;72 (Special Issue):344.
39. Espelid I, Tveit AB, Fjellveit A. Variations among dentists in radiographic detection of occlusal caries. *Caries Res.* 1994;28(3):169-75.
40. Kidd EA, Pitts NB. A reappraisal of the value of the bitewing radiograph in the diagnosis of posterior approximal caries. *Br Dent J.* 1990;169(7):195-200.
41. Ketley CE, Holt RD. Visual and radiographic diagnosis of occlusal caries in first permanent molars and in second primary molars. *Br Dent J.* 1993;174(10):364-70.
42. Stephen KW, Russell JI, Creanor SL, Burchell CK. Comparison of fiber-optic transillumination with clinical and radiographic caries diagnosis. *Community Dent Oral Epidemiol.* 1987;15(2):90-4.
43. Wenzel A, Verdonschot EH, Truin GJ, Konig KG. Accuracy of visual inspection fiber-optic transillumination and various radiographic image modalities for the detection of occlusal caries in extracted non-cavitated teeth. *J Dent Res.* 1992;71(12):1934-7.
44. Ferreira Zandona AG, Analoui M, Beiswanger BB, Isaacs RL, Kafraway AH, Eckert GJ, Stookey GK. An in vitro comparison between light-induced fluorescence and visual examination for detection of demineralization in occlusal pits and fissures. *Caries Res.* 1998;32(3):210-8.
45. de Josselin de Jong E, Sundstrom F, Westerling H, Tranaeus S, ten Bosch JJ, Angmar-Mansson B. A new method for in vivo quantification of changes in initial enamel caries with laser fluorescence. *Caries Res.* 1995;29(1):2-7.
46. Angmar-Mansson B, ten Bosch JJ. Optical methods for the detection and quantification of caries. *Adv Dent Res.* 1987;1(1):14-20.
47. Verdonschot EH, Wenzel A, Truin GJ, Konig KG. Performance of electrical resistance measurements adjunct to visual inspection in the early diagnosis of occlusal caries. *J Dent.* 1993;21(6):332-7.
48. Rock WP, Kidd EA. The electronic detection of demineralisation in occlusal fissures. *Br Dent J.* 1988;164(8):243-7.
49. van de Rijke JW. Use of dyes in cariology. *Int Dent J.* 1991;41:111-6.
50. Ie YL, Verdonschot EH. Performance of diagnostic systems in occlusal caries detection compared.

- Community Dent Oral Epidemiol. 1994;22(3):  
187-91.
51. Machiulskiene V, Nyvad B, Baelum V. A  
comparision of clinical and radiographic diagnoses  
in posterior teeth of 12-year-old Lithuanian  
children. Caries Res. 1999;33(5):340-8.
52. Ricketts DN, Kidd EA, Beighton D. Operative  
and microbiological validation of visual, radiographic  
and electronic diagnosis of occlusal caries in  
non-cavitated teeth judged to be in need of  
operative care. Br Dent J. 1995;179(6):214-20.
53. Simonsen RJ. Conservation of tooth structure in  
restorative dentistry. Quintessence Int. 1985;16(1):  
15-24.

# Occlusal Hidden Caries in Permanent Teeth : Case Reports

Niramol Jaisue D.D.S. (Hons), Grad. Dip. in Clin. Sc (Pedodontics),  
Thai board (Pedodontics)

Department of Dental Hospital, Faculty of Dentistry, Chulalongkorn University

---

## Abstract

Occlusal hidden caries in permanent molar is a term used to describe occlusal dentin caries, which is not diagnosed clinically due to the occlusal surface appears obtusely intact with minimal demineralized enamel. However, bitewing radiographs show radiolucencies in dentin. Two patients with occlusal hidden caries are presented in this article. Oral examination of these patients did not reveal cavities on occlusal surfaces but large carious lesions were observed in bitewing radiographs. These lesions when appropriately treated, before being harmful to dental pulp, tooth loss and high treatment expense can be avoided.

(CU Dent J. 2007;30:61-72)

**Key word:** bitewing radiograph; dentin caries; occlusal hidden caries

---